

# Stratifying the Space of Barcodes

using Coxeter complexes

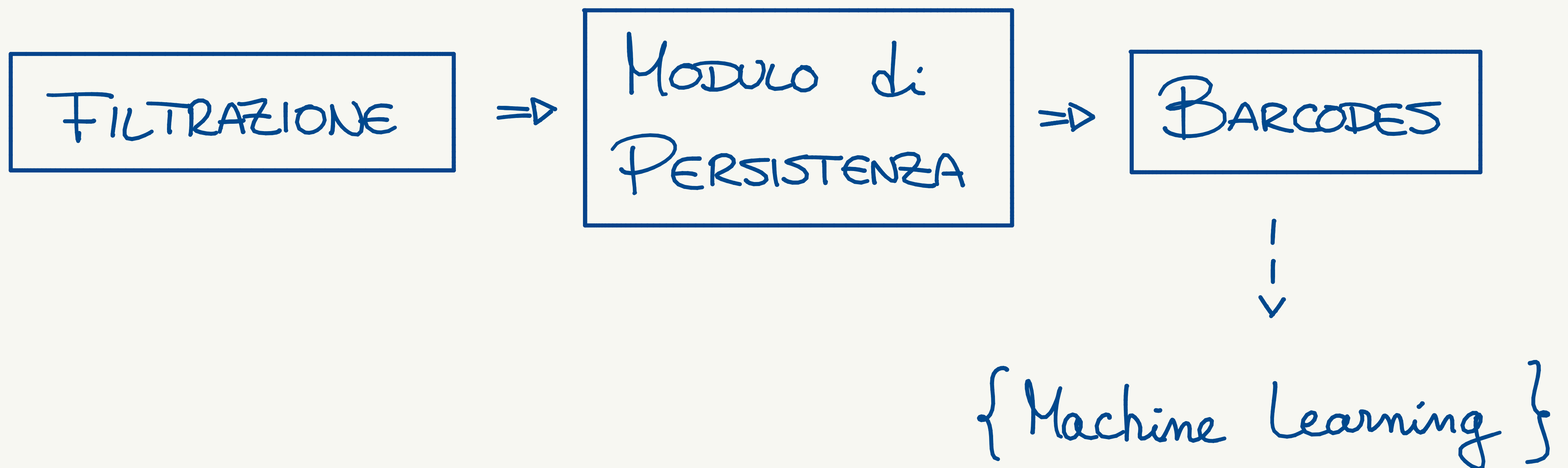
by Benjamin Brück, Adélie Garin ~ 2022

Seminario di Alessio Sgubin

Date: 22/04/24

## MOTIVAZIONE

Consideriamo la PIPELINE spesso usata in TDA:



⇒ Studiare features salienti dei barcodes.

## DEF. Barcode

Un BARCODE è un multiset  $\{(b_i, d_i)\}_{i \in I}$  dove  
 $b_i < d_i \quad \forall i \in I$  e  $|I| < \infty$ .

Indichiamo:

$$\mathcal{B}_n := \{ \text{barcodes} : |I| = n \}$$

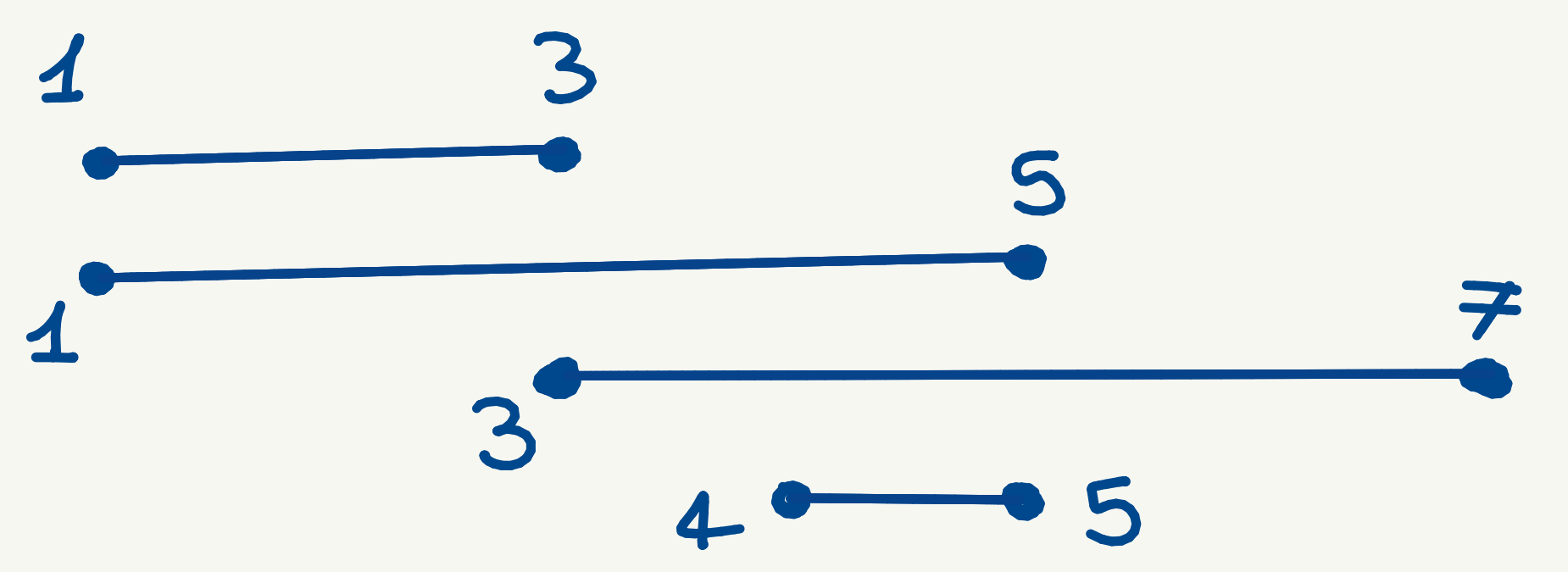
$$\mathcal{B}_n^{\text{st}} := \{ \text{barcodes} : |I| = n \wedge b_i \neq b_j, d_i \neq d_j \quad \forall i \neq j \}$$

(detti STRICT BARCODES)

## ESEMPIO

Consideriamo  $B \in \mathcal{B}_4$  dato da:

$$B = \{(1, 5), (1, 3), (3, 7), (4, 5)\}.$$



► DEF. Permutazione Associata a  $\mathcal{B}_n^{\text{st}}$

Sia  $B = \{(b_i, d_i)\}_{i \in [n]} \in \mathcal{B}_n^{\text{st}}$ . Allora  $\exists!$   $\tau_b, \tau_d \in \text{Sym}_n$   
tali che

$$b_{\tau_b(1)} \leq \dots \leq b_{\tau_b(n)} \quad \text{e} \quad d_{\tau_d(1)} \leq \dots \leq d_{\tau_d(n)}$$

Si definisce  $\sigma_B := \tau_b^{-1} \circ \tau_d$  PERMUTAZIONE ASSOCIATA a  $B$ .

• OSS:  $\tau_b$  e  $\tau_d$  dipendono da  $i \in [n]$  ma  $\sigma_B$  no:  
 $i$ -esima morte  $\implies \sigma_B(i)$ -esima nascita

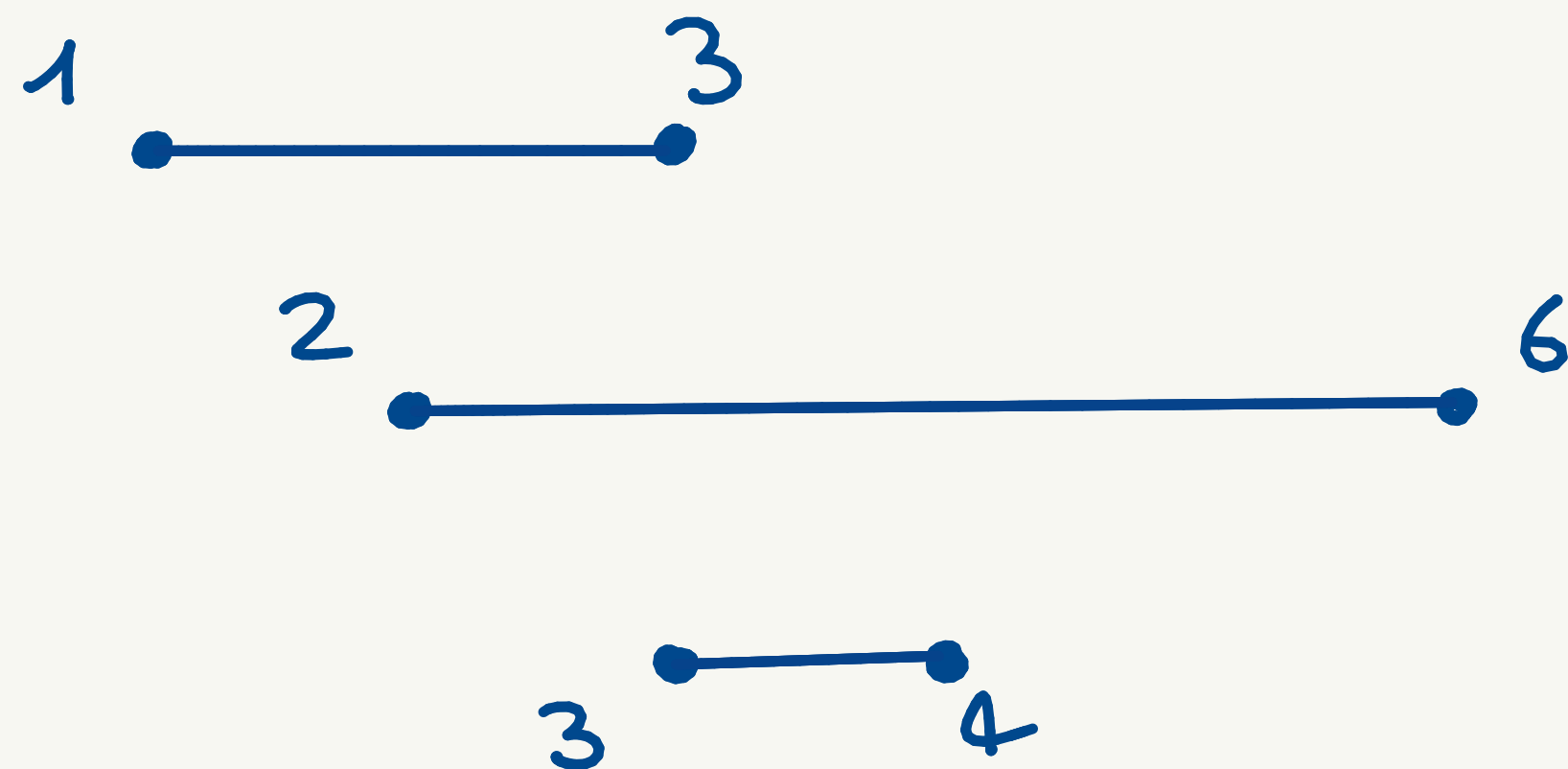
• OSS: le permutazioni  $\tau_b, \tau_d, \sigma_B$  sono uniche solo  
quando  $B$  è strict.

► DEF. One-Line Notation

Sia  $\gamma \in \text{Sym}_n$ . Denotiamo  $\gamma = " \gamma(1) \gamma(2) \dots \gamma(n) "$ .

► ESEMPIO

$$B_1 = \{(1,3), (2,6), (3,4)\}$$



Calcoliamo :

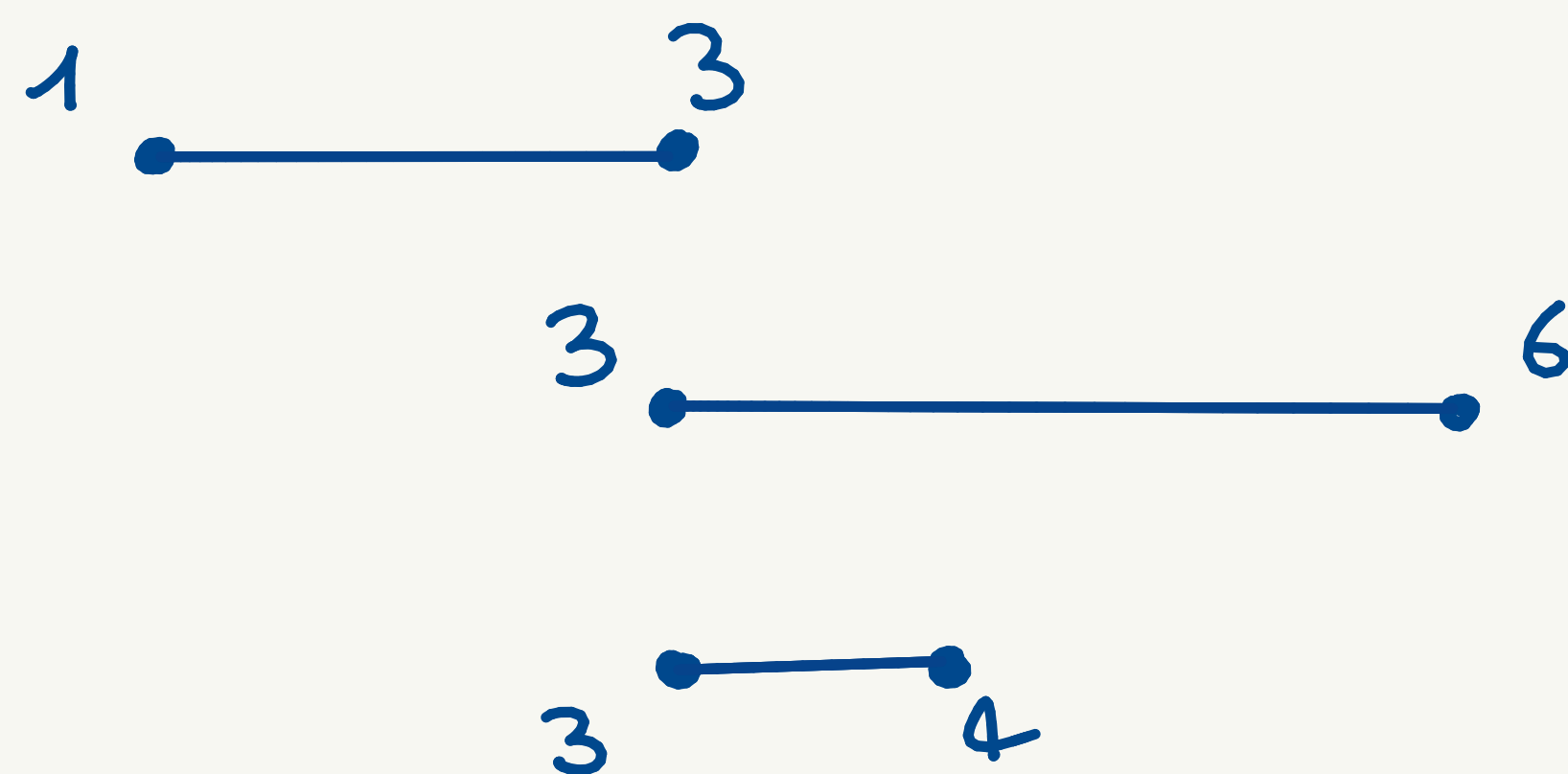
$$\left. \begin{array}{l} \tau_b = 123 \\ \tau_d = 132 \end{array} \right\} \Rightarrow \sigma_B = 132$$

► DEF. One-Line Notation

Sia  $\gamma \in \text{Sym}_n$ . Denotiamo  $\gamma = " \gamma(1) \gamma(2) \dots \gamma(n) "$ .

► ESEMPIO

$$B_2 = \{(1,3), (3,6), (3,4)\}$$



Calcoliamo :

$$\left. \begin{array}{l} \tau_b = 1\ 2\ 3 \\ \tau_b' = 1\ 3\ 2 \\ \tau_d' = \tau_d = 1\ 3\ 2 \end{array} \right\} \Rightarrow$$

$$\sigma_B = 132$$

$$\sigma_B' = 123$$



## DEF. Stratificazione

Sia  $X$  spazio topologico. Una STRATIFICAZIONE su  $(\mathcal{P}, \leq)$

è una famiglia di sottospazi  $\{X_p\}_{p \in \mathcal{P}}$  tali che:

$$(i) \quad X = \bigcup_{p \in \mathcal{P}} X_p. \quad (ii) \quad p \leq q \text{ se e solo se } X_p \subseteq X_q.$$

(iii) se  $X_p \cap X_q \neq \emptyset$ , allora è unione di strati.

$$(iv) \quad \forall x \in X \quad \exists! p_x \in \mathcal{P} \text{ tale che } X_{p_x} = \bigcap_{X_q \ni x} X_q.$$

Oss: se  $K$  complesso simpliciale astratto

$|K|$  è stratificato su  $(K, \leq)$ .

OBIETTIVO: trovare stratificazione di  $B_n$  in funzione dell'ordine di nascita / morte delle barre.

Ci sono dei problemi:

→ struttura di MULTISSET dei BARCODE, come posso ottenere un embedding in  $\mathbb{R}^m$ ?

→ descrivere le permutazioni associate per barcodes non-strict.



## GRUPPI di COXETER

### ► DEF. Sistema di Coxeter Finito

Un GRUPPO di COXETER FINITO  $W$  è un gruppo di riflessione finito. Cioè dato  $S$  insieme di RIFLESSIONI SEMPLICI in  $\mathbb{R}^n$  rispetto a iperpiani,  $W$  è descritto dal gruppo che agisce su  $\mathbb{R}^n$  generato da  $S$ .

Diciamo che  $(W, S)$  è SISTEMA di COXETER.

## ► ESEMPIO $\text{Sym}_n$

Il gruppo  $\text{Sym}_n$  è gruppo di Coxeter.

Consideriamo su  $\mathbb{R}^n$  l'insieme  $S = \{R_i\}_{i \in [n-1]}$

dove  $R_i(x_1, \dots, x_i, x_{i+1}, \dots, x_n) = (x_1, \dots, x_{i+1}, x_i, \dots, x_n)$

è la riflessione rispetto ad  $H_i = \{x_i = x_{i+1}\}$ .

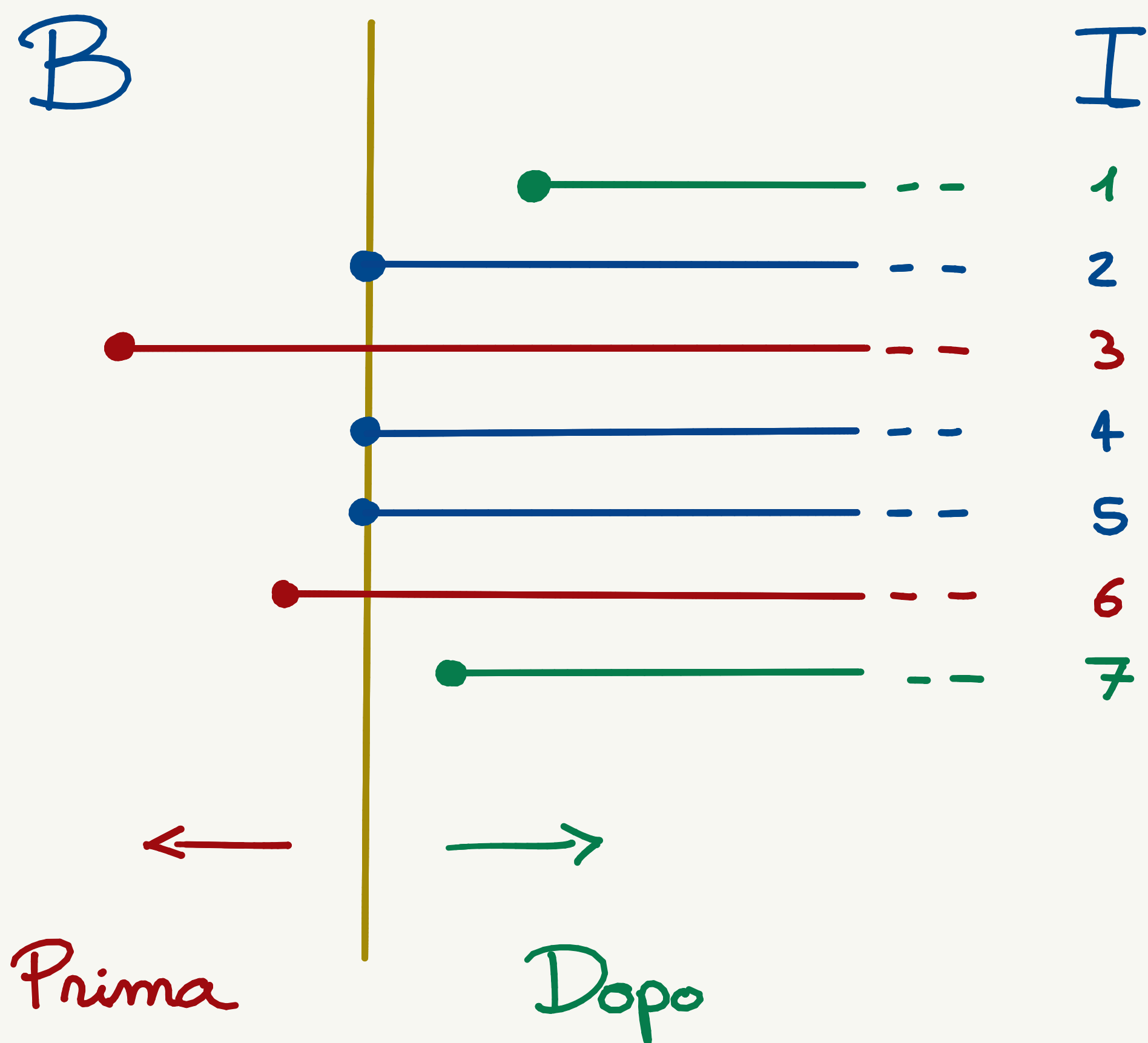
In particolare:

$\text{Sym}_n$	$\longleftrightarrow$	$W$
$(i, i+1)$	$\longleftrightarrow$	$R_i$

quindi  $\forall \gamma \in \text{Sym}_n$

$$\gamma \cdot (x_1, \dots, x_n) = (x_{\gamma^{-1}(1)}, \dots, x_{\gamma^{-1}(n)}).$$

Oss: calcoliamo le possibili  $\tau_b$  per  $B \in \mathcal{B}_m$ :



$3624571$   
 $3625471$   
 $3642571$   
 $3645271$   
 $3652471$   
 $3654271$

$\langle \text{trasposizioni semplici} \rangle$

DEF. Sottogruppi Parabolici

Sia  $(W, S)$  sistema di Coxeter. I suoi SOTTOGRUPPI

PARABOLICI sono  $P_T := \langle T \rangle_w$  con  $\emptyset \neq T \subseteq S$ .

L'osservazione motiva la seguente definizione.

► DEF. Doppio Coset associato a  $\mathcal{B}_n$

Sia  $B \in \mathcal{B}_n$ . Fissate due possibili:  $\tau_b^B, \tau_d^B \in \text{Sym}_n$ :

$$P_b^B := \{ \gamma \in \text{Sym}_n \mid b_{\tau_b(i)} = b_{\tau_b \gamma(i)} \forall i \}$$

$$P_d^B := \{ \gamma \in \text{Sym}_n \mid d_{\tau_d(i)} = d_{\tau_d \gamma(i)} \forall i \}$$

sono sottogruppi parabolici e definiscono:

$$D_B := P_b^B \tau_b^{-1} \tau_d P_d^B \quad \text{DOPPIO COSET ASSOCIATO a } B.$$

► Oss:  $P_b^B, P_d^B$  e  $D_B$  non dipendono dagli indici  $i \in I$ .

► Oss: nel caso  $B \in \mathcal{B}_n^{\text{st}}$  allora  $D_B = \{ \sigma_B \}$ .

► DEF. Complesso di Coxeter

Sia  $(W, S)$  sistema di Coxeter. Definiamo il complesso

simpliciale astratto  $\Sigma(W) := \bigcup_{\substack{\tau \in W \\ T \in S}} \{\tau P_T\}$  dove

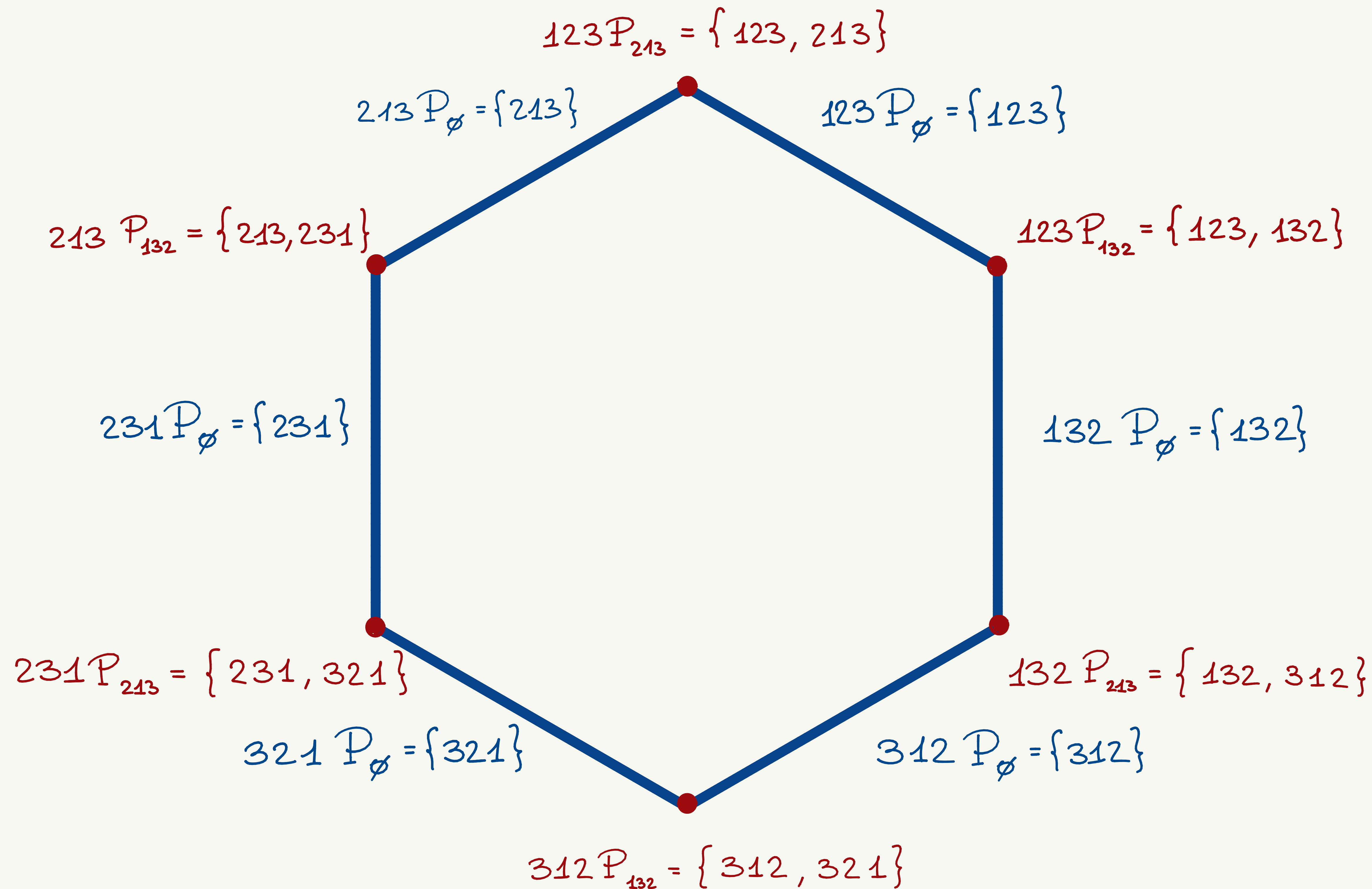
$$\tau P_T \preceq \tau' P_{T'} \iff \tau P_T \cong \tau' P_{T'}. .$$

► AZIONE di  $W$  su  $\Sigma(W)$

Il gruppo  $W$  agisce su  $\Sigma(W)$ :

$$\forall w \in W \quad w \cdot \tau P_T := w\tau P_T$$

ESEMPIO  $\Sigma_3 := \Sigma(\text{Sym}_3)$



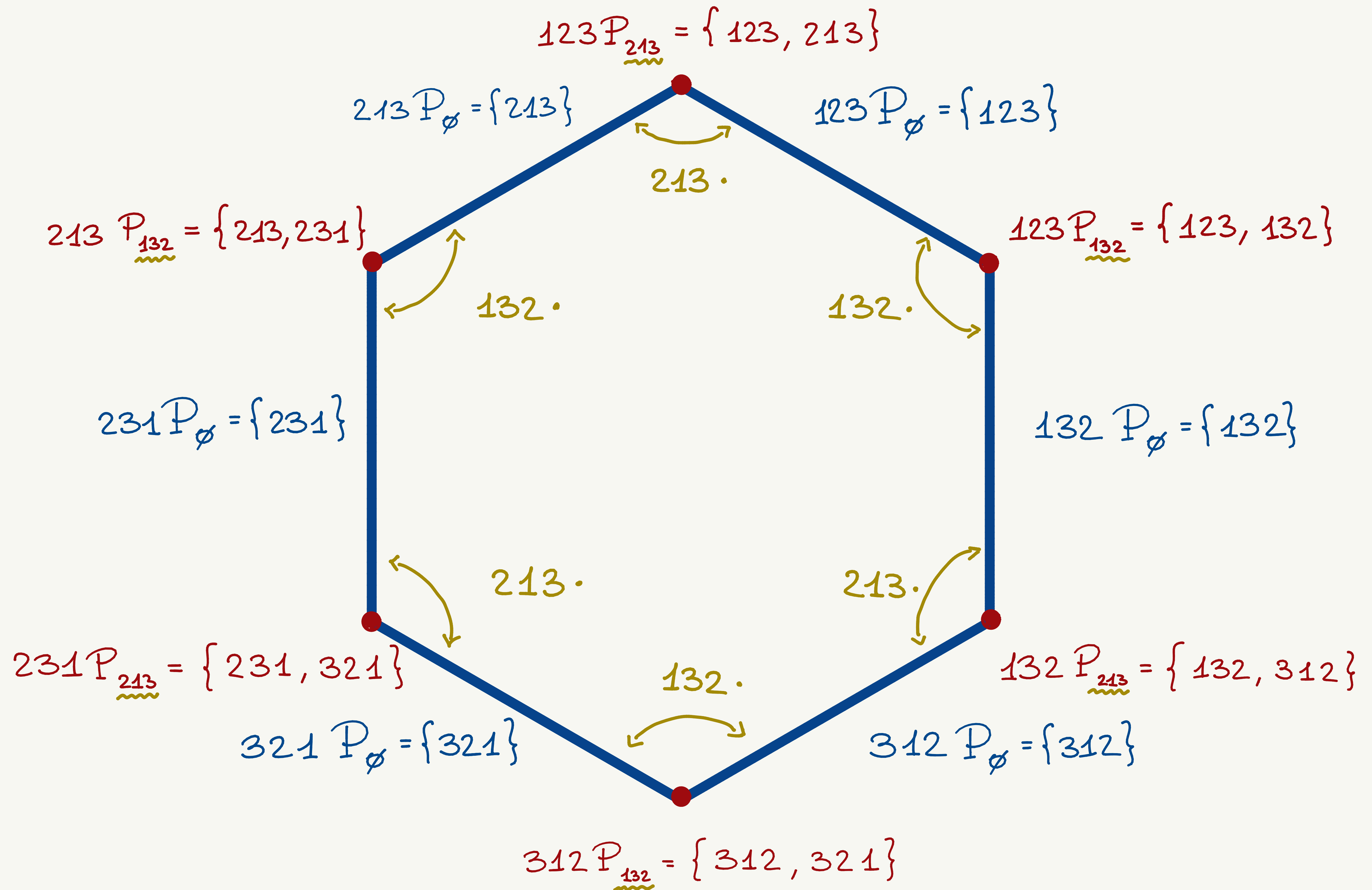
► PROPRIETA'  $\Sigma_n := \Sigma(\text{Sym}_n)$

•  $\Sigma_n \cong \text{Bd}(\partial\Delta(n-2)) \cong S^{n-2}$

•  $\left\{ \begin{array}{l} \text{facce massimali } \Sigma_n \\ \text{facce adiacenti} \end{array} \right\} \begin{array}{l} \xleftrightarrow{1:1} \\ \longleftrightarrow \end{array} \left\{ \begin{array}{l} \text{elementi } \text{Sym}_n \\ \text{permutazioni che} \\ \text{differiscono per } (i, i+1) \end{array} \right\}$

•  $\Sigma_n$  e' stratificato su  $(\Sigma_n, \preceq)$ .

ESEMPIO  $\Sigma_3 := \Sigma(\text{Sym}_3)$





► PROPRIETA'  $\Sigma_n := \Sigma(\text{Sym}_n)$

► Consideriamo l'arrangiamento di iperpiani

$$H := \left\{ H_{ij} = \{x_i = x_j\} \right\}_{\substack{i \neq j \\ i, j \in [n]}} \text{ in } \mathbb{R}^n.$$

Definito  $V = (1, \dots, 1)^\perp = \left\{ \underline{x} \in \mathbb{R}^n \mid \sum_{i=1}^n x_i = 0 \right\} \subseteq \mathbb{R}^n$

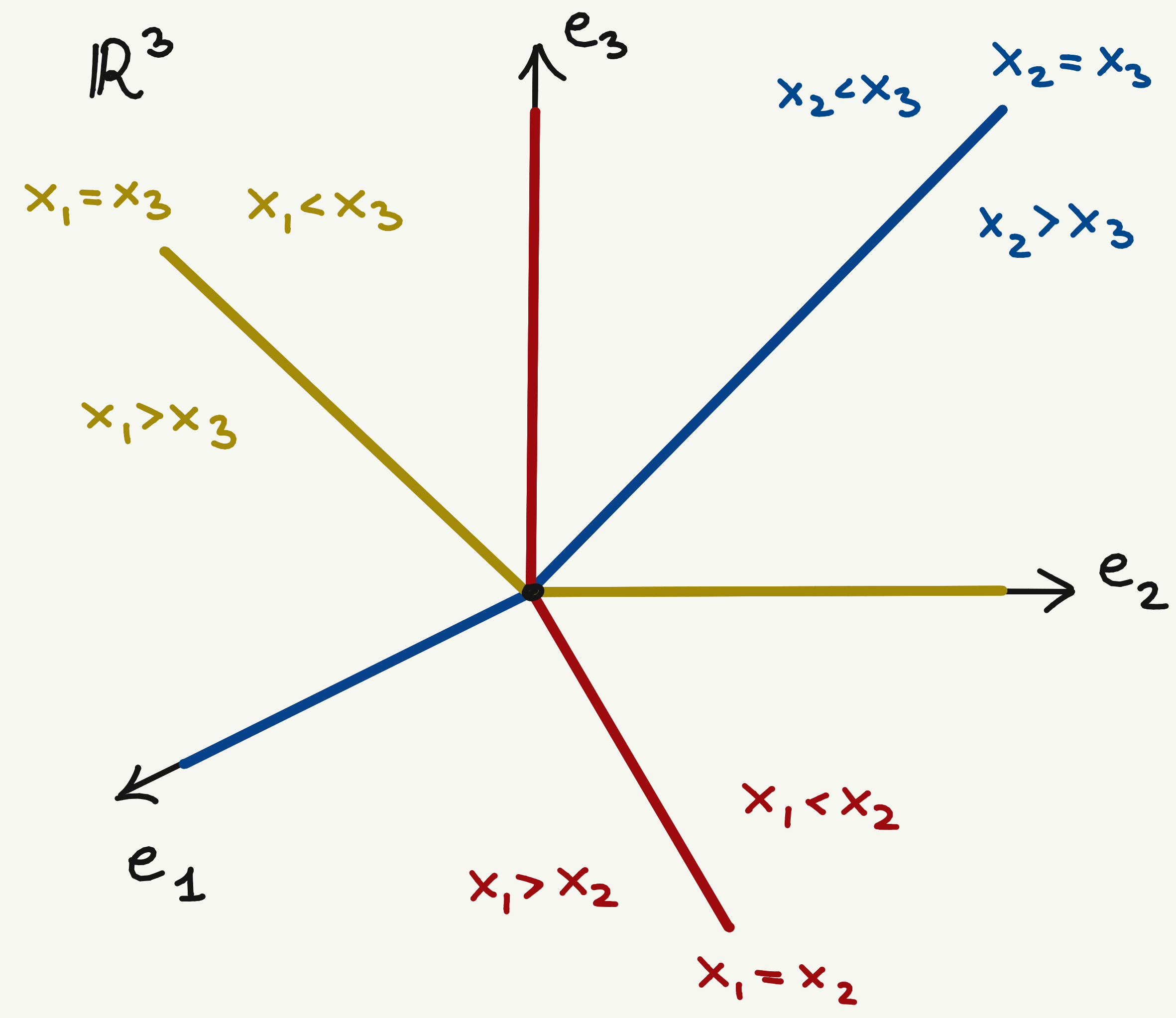
consideriamo  $S^{n-2} \subseteq V$  sfera unitaria.

L'arrangiamento  $H$  induce una triangolazione di  $S^{n-2}$

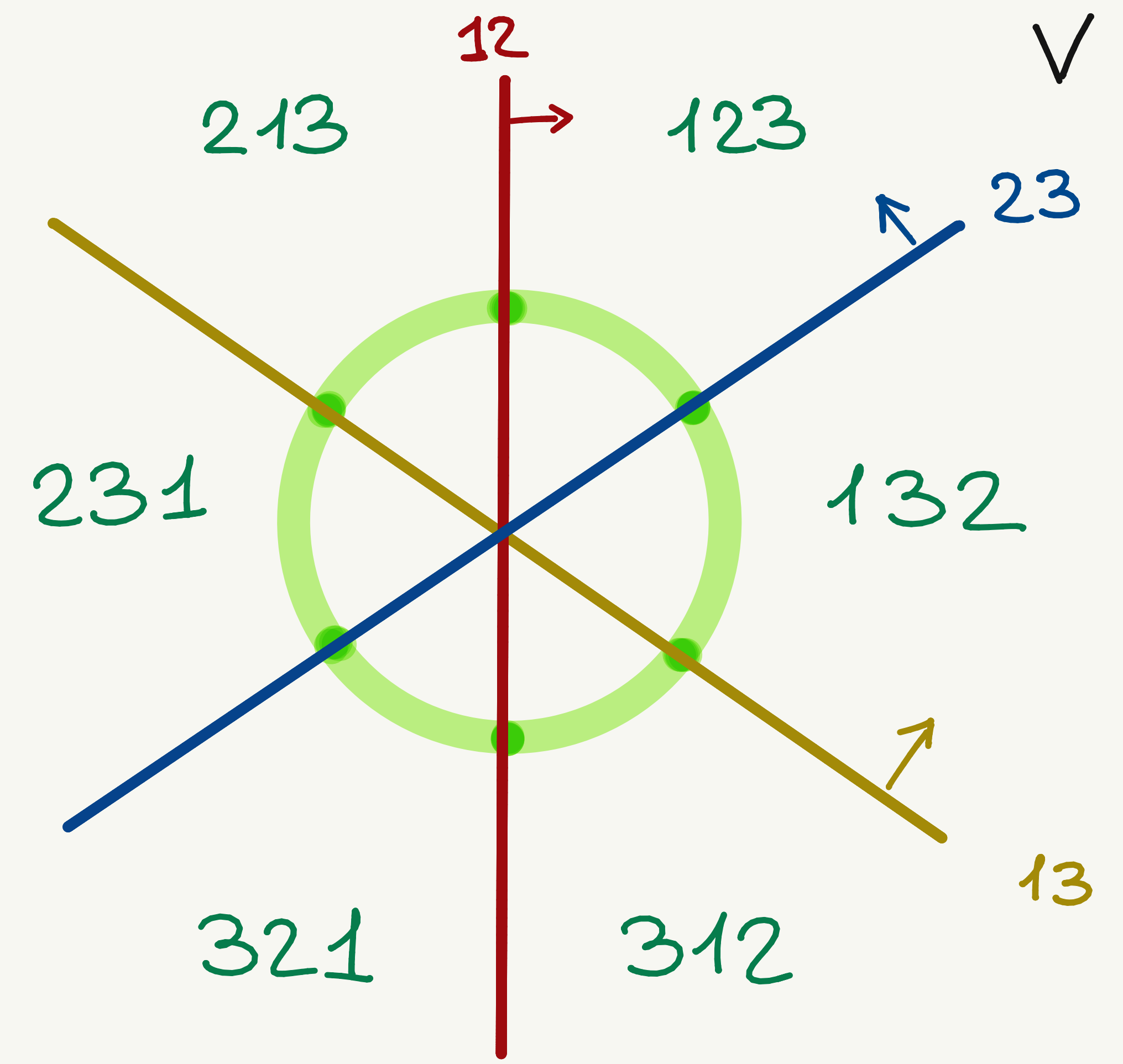
e il complesso simpliciale associato è isomorfo

al complesso di Coxeter  $\Sigma(\text{Sym}_n) = \Sigma_n$ .

ESEMPIO  $W = \text{Sym}_3$



proietto su  
 $V := (1,1,1)^\perp$



dove:

$\text{green circle} \cong \Sigma_3 = \Sigma(\text{Sym}_3)$

Il precedente esempio si generalizza al caso di  $\mathbb{R}^n$ .

Indichiamo  $\underline{e} = (1, \dots, 1) \in \mathbb{R}^n$  e definiamo i sottospazi:

$$L := \text{span}(\underline{e}) \quad \text{e} \quad V := \underline{e}^\perp = \left\{ \underline{x} \in \mathbb{R}^n \mid \sum_{i=1}^n x_i = 0 \right\}.$$

Sia  $\underline{x} \in \mathbb{R}^n$ . Allora si possono considerare:

$$\bar{x} = \frac{1}{n} \sum_{i=1}^n x_i \quad \text{MEDIA } \bar{x}$$

$$\underline{v}_x = \underline{x} - \bar{x} \underline{e} \in V \quad \text{DEVIATION STANDARD } \|\underline{v}_x\|$$

Siccome  $V \cong \mathbb{R}^{n-1}$ , per ogni  $v \in V \setminus \{0\}$  si definisce:

$$\underline{v}_\theta := \frac{\underline{v}_x}{\|\underline{v}_x\|} \in S^{n-2} \cong \Sigma_n \quad \text{DIREZIONE LUNGO } V.$$

Queste statistiche si riassumono con le mappe:

$$\begin{array}{ccc}
 p: \mathbb{R}^n & \longrightarrow & \mathbb{R} \times \mathbb{R}_{\geq 0} \\
 \underline{x} & \longmapsto & (\bar{x}, \|\underline{v}_{\underline{x}}\|) \\
 & & \vdots \\
 q: \mathbb{R}^n \setminus L & \longrightarrow & \Sigma_n \\
 \underline{x} & \longmapsto & \underline{\sigma}_0
 \end{array}$$

### ► PROPOSIZIONE

Consideriamo l'azione  $\text{Sym}_n \curvearrowright \mathbb{R}^n$ . Vale che

$$(p|_{\mathbb{R}^n \setminus L}, q): \mathbb{R}^n \setminus L \xrightarrow{\cong} \mathbb{R} \times \mathbb{R}_{> 0} \times \Sigma_n$$

è bigettiva e  $\text{Sym}_n$ -equivariante, cioè

$$\forall \gamma \in \text{Sym}_n: \gamma \cdot (p|_{\mathbb{R}^n \setminus L}, q)(\underline{x}) = (p|_{\mathbb{R}^n \setminus L}, q)(\gamma \cdot \underline{x}).$$

Secondo questa scrittura:  $\mathbb{R}_{> 0} \times \Sigma_n \cong \text{cone}(\Sigma_n) \setminus \{*\}$ .

## STRATIFICAZIONE di $\mathcal{B}_m$

### ► COORDINATE per $\mathcal{B}_m$

Sia  $X := \text{Sym}_m \backslash \mathbb{R}^n \times \mathbb{R}^n$  dove  $\forall \gamma \in \text{Sym}_m$ :

$$\gamma \cdot (x_1, \dots, x_n, y_1, \dots, y_n) := (x_{\gamma^{-1}(1)}, \dots, x_{\gamma^{-1}(n)}, y_{\gamma^{-1}(1)}, \dots, y_{\gamma^{-1}(n)}).$$

Dato  $Y := \text{Sym}_n \backslash \{ (x, y) \in \mathbb{R}^n \times \mathbb{R}^n \mid x_i < y_i \ \forall i \} \subseteq X$ :

$$\begin{array}{ccc} \phi: \mathcal{B}_m & \xrightarrow{\sim} & Y & \text{e' bigettiva.} \\ \{(b_i, d_i)\} & \longmapsto & [b_1, \dots, b_n, d_1, \dots, d_n] \end{array}$$

La precedente proposizione si riscrive come:

## ► PROPOSIZIONE

Ogni barcode  $\{(b_i, d_i)\}_{i \in [n]} \in \mathcal{B}_n$  con almeno due  $b_i$  e due  $d_i$  distinti determina:

$$\textcircled{a} \quad \bar{b} := \frac{1}{n} \sum_{i=1}^n b_i$$

$$\textcircled{b} \quad \bar{d} := \frac{1}{n} \sum_{i=1}^n d_i$$

$$\textcircled{c} \quad \|\underline{v}_b\| = \sqrt{\sum_i (b_i - \bar{b})^2}$$

$$\textcircled{d} \quad \|\underline{v}_d\| = \sqrt{\sum_i (d_i - \bar{d})^2}$$

$\textcircled{e}$  un'orbita  $\text{Sym}_n \cdot (b_0, d_0) \in \text{Sym}_n \backslash \Sigma_n \times \Sigma_n$ .

Queste statistiche determinano univocamente il barcode.

• IDEA: si induce  $(P|_{\mathbb{R}^n, L}, q, P|_{\mathbb{R}^n, L}, q)$  al quoziente  $\text{Sym}_n \backslash$ .

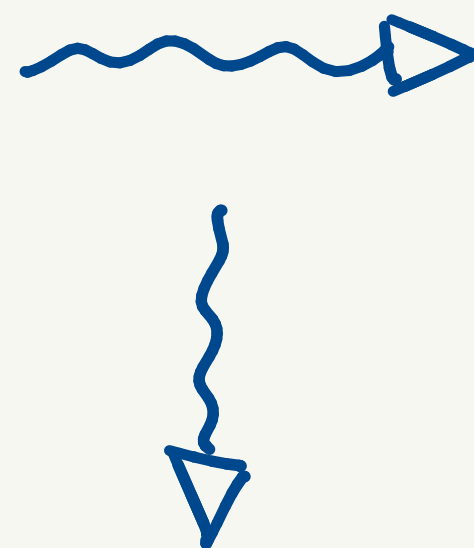
## ► STRATIFICAZIONE di $\mathcal{B}_n$

I risultati precedenti indicano che

$$\mathbb{R}^n \times \mathbb{R}^n \cong^{\Psi} \mathbb{R} \times \text{cone}(\Sigma_n) \times \mathbb{R} \times \text{cone}(\Sigma_n).$$

tramite  $\Psi$   $\text{Sym}_n$ -equivariante.

Stratificazione di  
 $\Sigma_n$  su  $(\Sigma_n, \Leftarrow)$



Stratificazione di  
 $\text{cone}(\Sigma_n)$  su  $(\Sigma_n, \Leftarrow)$

$\mathbb{R}^{2n}$  è stratificato su  $(\mathcal{P}, \Leftarrow)$  dove

$$\mathcal{P} = \{ (\tau_1 P_1, \tau_2 P_2) \mid \tau_1, \tau_2 \in \text{Sym}_n \text{ e } P_1, P_2 \text{ parabolici} \}$$

## ► STRATIFICAZIONE su $\tilde{\mathcal{P}}$

Passando ai quozienti si ottiene quindi:

stratificazione  $\mathbb{R}^{2m}$   
su  $(\mathcal{P}, \leq)$

$\text{Sym}_n$   
→

stratificazione  $X$   
su  $(\tilde{\mathcal{P}}, \leq)$

dove  $\tilde{\mathcal{P}} = \{ \text{orbite di } \text{Sym}_n \curvearrowright \mathcal{P} \}$  con:

$$[\alpha_1 \mathcal{P}_1, \alpha_2 \mathcal{P}_2] \leq [\beta_1 \mathcal{Q}_1, \beta_2 \mathcal{Q}_2]$$

↕

$$\exists \gamma \in \text{Sym}_n \text{ tale che } \begin{cases} \alpha_1 \mathcal{P}_1 \cong \gamma \beta_1 \mathcal{Q}_1 \\ \alpha_2 \mathcal{P}_2 \cong \gamma \beta_2 \mathcal{Q}_2 \end{cases} .$$



## ► STRATIFICAZIONE su $\tilde{\mathcal{Q}}$

Definiamo un poset  $\tilde{\mathcal{Q}}$  isomorfo a  $\tilde{\mathcal{P}}$ :

$$\tilde{\mathcal{Q}} := \left\{ (P_1, P_1 \sigma P_2, P_2) \mid P_1, P_2 \text{ parabolici}, \sigma \in \text{Sym}_n \right\}$$

con  $\leq$  component-wise reverse-inclusion:

$$(P_1, P_1 \sigma P_2, P_2) \leq (Q_1, Q_1 \tau Q_2, Q_2) \iff \begin{cases} P_1 \supseteq Q_1 \\ P_1 \sigma P_2 \supseteq Q_1 \tau Q_2 \\ P_2 \supseteq Q_2 \end{cases}$$

Vale:

$$\begin{array}{ccc} \tilde{\mathcal{P}} & \xrightarrow{\sim} & \tilde{\mathcal{Q}} \\ [ \tau_1 P_1, \tau_2 P_2 ] & \mapsto & (P_1, P_1 \tau_1^{-1} \tau_2 P_2, P_2) \\ [ P_1, \sigma P_2 ] & \longleftarrow & (P_1, P_1 \sigma P_2, P_2) \end{array}$$

Con questa bigezione,  $X$  stratificato su  $\tilde{\mathcal{Q}}$ .

Restrungendo ad  $Y \subseteq X$ , si ottiene la stratificazione:

### TEOREMA

Lo spazio dei barcodes  $\mathcal{B}_n$  è stratificato su  $\tilde{\mathcal{Q}}$ .

Dato  $B \in \mathcal{B}_n$  lo strato minimale contenente  $B$  sarà

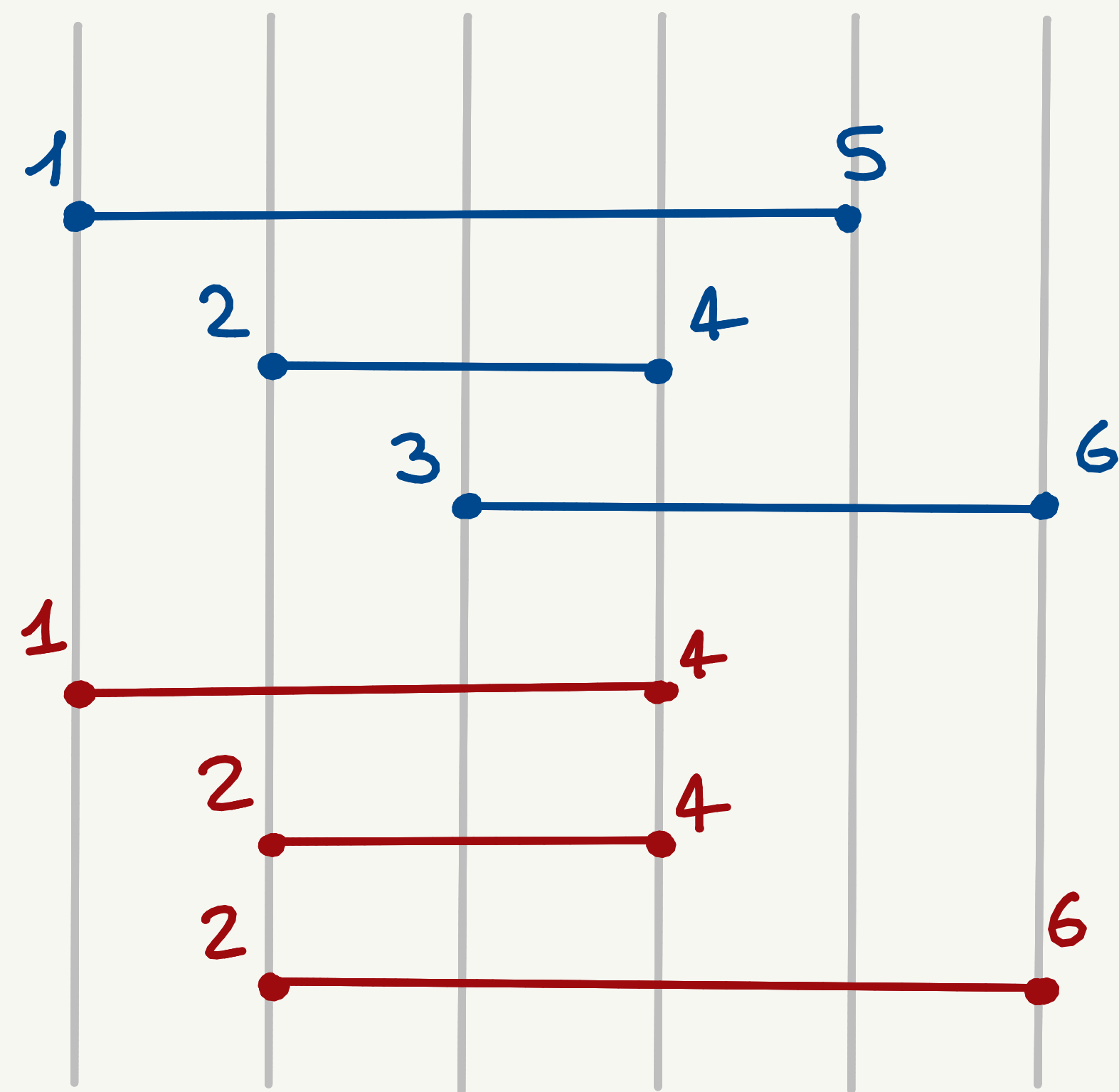
$$\mathcal{B}_n^{(P_b^B, D_B, P_d^B)} := \left[ \mathbb{R} \times \text{cone}(\tau_b P_b^B) \times \mathbb{R} \times \text{cone}(\tau_d P_d^B) \right] \cap Y.$$

▶ ESEMPIO

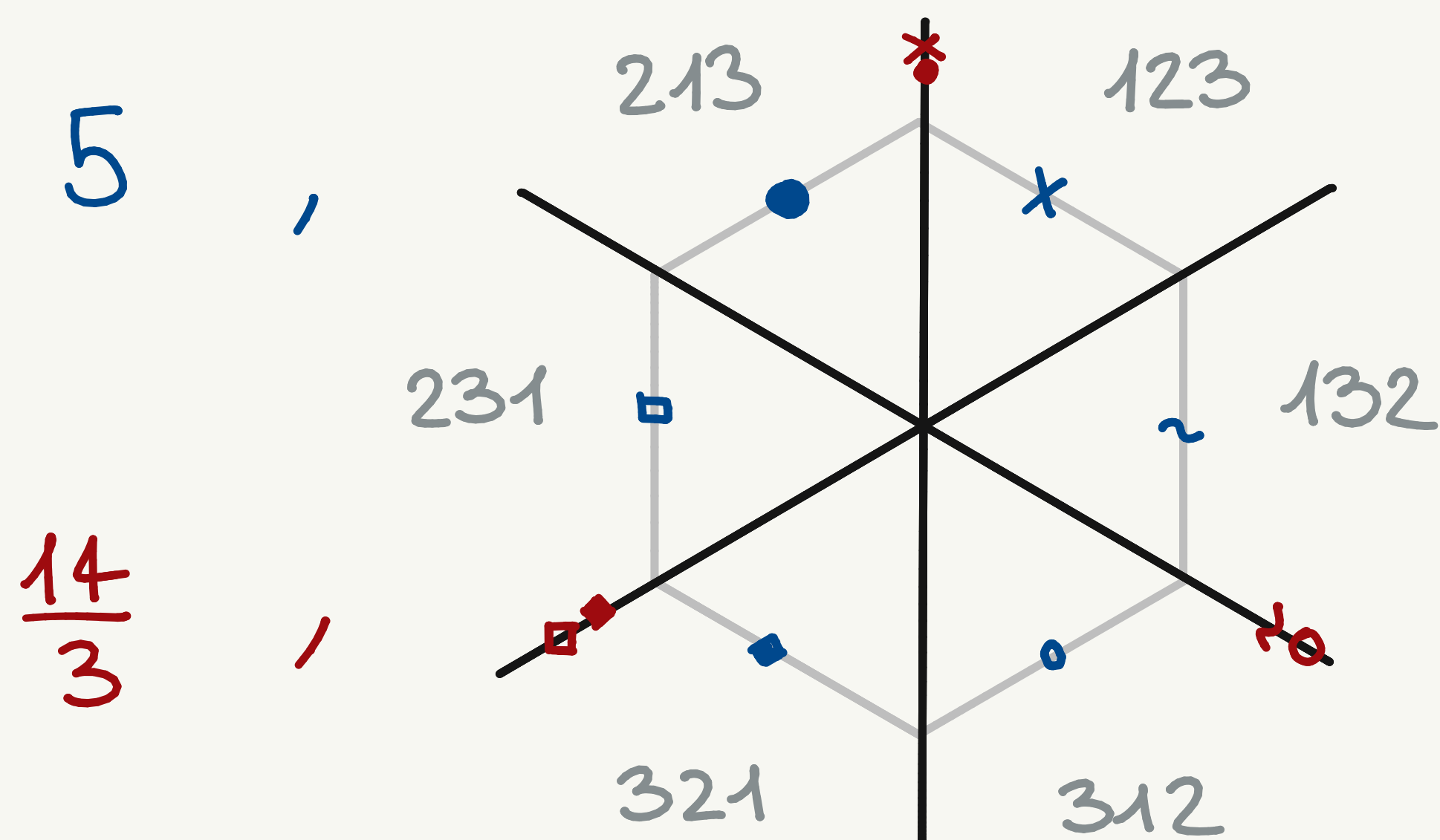
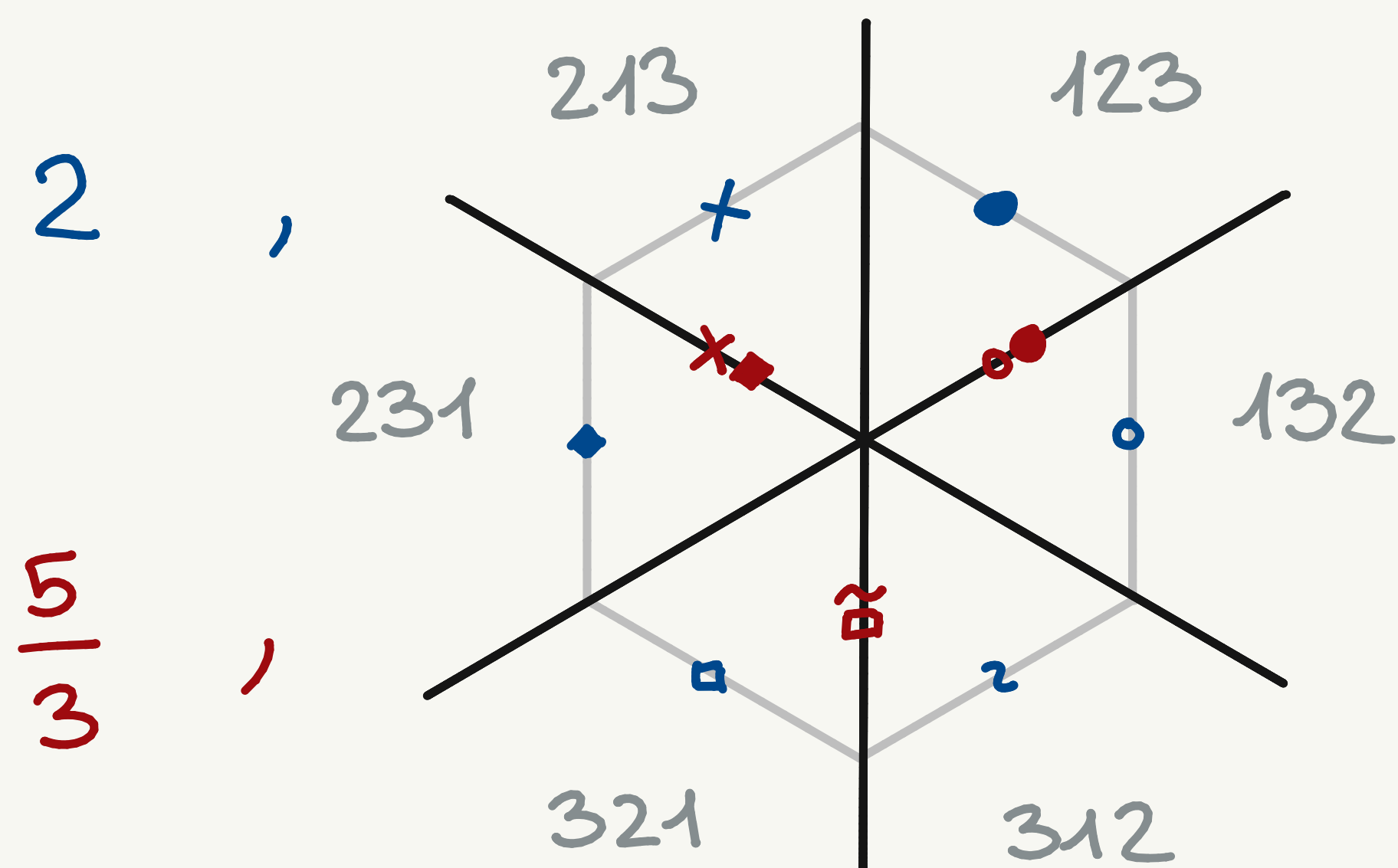
$$B = \{(1, 5), (2, 4), (3, 6)\}$$

$$B' = \{(1, 4), (2, 4), (2, 6)\}$$

Si rappresentano in:



$$\text{Sym}_n \left( \mathbb{R} \times \text{cone}(\Sigma_n) \times \mathbb{R} \times \text{cone}(\Sigma_n) \right)$$



► METRICHE su  $\mathcal{B}_m \cong \mathcal{Y}$

$\mathbb{R}^{2n}, d_\infty$  Definiamo al quoziente  $X = \text{Sym}_n \backslash \mathbb{R}^{2n}$ :

$$d : X \times X \longrightarrow \mathbb{R}$$

$$([\underline{x}, \underline{y}], [\underline{x}', \underline{y}']) \longmapsto \min_{\substack{(\tilde{x}, \tilde{y}) \in [\underline{x}, \underline{y}] \\ (\hat{x}, \hat{y}) \in [\underline{x}', \underline{y}']}} d_\infty((\tilde{x}, \tilde{y}), (\hat{x}, \hat{y}))$$

$\mathcal{B}_m, \tilde{d}_B$  Distanza Bottleneck Modificate

$$\tilde{d}_B : \mathcal{B}_m \times \mathcal{B}_m \longrightarrow \mathbb{R}$$

$$(\mathcal{B}, \mathcal{B}') \longmapsto \min_{\gamma \in \text{Sym}_n} \max_{i \in \{1, \dots, n\}} \|(b_i, d_i) - (b'_{\gamma(i)}, d'_{\gamma(i)})\|_\infty$$

► TEOREMA

La mappa  $\phi : (\mathcal{B}_m, d) \longrightarrow (\mathcal{Y}, \tilde{d}_B|_{\mathcal{Y} \times \mathcal{Y}})$  è isometria.

► METRICHE su  $\mathcal{B}_m \cong \mathcal{Y}$

$\mathbb{R}^{2n}, d_2$  Definiamo al quoziente  $X = \text{Sym}_n \backslash \mathbb{R}^{2n}$ :

$$d' : X \times X \longrightarrow \mathbb{R}$$

$$([\underline{x}, \underline{y}], [\underline{x}', \underline{y}']) \longmapsto \min_{\substack{(\tilde{x}, \tilde{y}) \in [\underline{x}, \underline{y}] \\ (\hat{x}, \hat{y}) \in [\underline{x}', \underline{y}']}} d_2((\tilde{x}, \tilde{y}), (\hat{x}, \hat{y}))$$

$\mathcal{B}_m, \tilde{d}_w$  Distanza Wasserstein Modificate

$$\tilde{d}_w : \mathcal{B}_m \times \mathcal{B}_m \longrightarrow \mathbb{R}$$

$$(\mathcal{B}, \mathcal{B}') \longmapsto \min_{\gamma \in \text{Sym}_n} \sqrt{\sum_{i \in [n]} \|(b_i, d_i) - (b'_{\gamma(i)}, d'_{\gamma(i)})\|_2^2}$$

► TEOREMA

La mappa  $\phi : (\mathcal{B}_m, d')$   $\longrightarrow$   $(\mathcal{Y}, \tilde{d}_w|_{\mathcal{Y} \times \mathcal{Y}})$  e' isometria.

Grazie per l'attenzione!

